

Теплофизические свойства керамического нитрида алюминия

© С.Н. Иванов*, П.А. Попов, Г.В. Егоров, А.А. Сидоров, Б.И. Корнев, Л.М. Жукова**, В.П. Рябов**

Брянский государственный педагогический университет,
241036 Брянск, Россия

*Институт радиотехники и электроники Российской академии наук,
101000 Москва, Россия

**АО "Машиностроительный завод",
144000 Электросталь, Россия

(Поступила в Редакцию 7 августа 1996 г.)

В области низких температур экспериментально исследованы температурные зависимости постоянных решетки, теплоемкости и теплопроводности керамического AlN. Полученные данные сопоставлены с литературными, полученными для высокотемпературной области. Установлено наличие отрицательного коэффициента термического расширения (КТР).

Керамический нитрид алюминия AlN в последнее время нашел применение в качестве материала для подложек полупроводниковых интегральных схем высокой степени интеграции в связи со своей высокой теплопроводностью и адекватными кремнию термическим расширением и механическими свойствами [1]. Однако высокое значение теплопроводности керамики AlN связано и с ее большой чувствительностью к широкому спектру различного рода факторов, основным из которых является рассеяние фононов на границах зерен [2]. Состояние же границ и в целом керамическая структура определяются технологией изготовления образцов, введением стабилизирующих добавок. Так, в [2] показано, что увеличение времени синтеза при температуре 1810°С с 2 до 8 h увеличивает теплопроводность керамического AlN со 138 до 172 W · m⁻¹ · K⁻¹. В [3] в области температур выше комнатной исследована зависимость теплопроводности образцов AlN от количества стабилизирующей добавки Y₂O₃.

Обычно обсуждение характеристик образцов керамики AlN проводится для комнатной температуры и выше [1–3], хотя как материал для подложек интегральных схем он должен работать и при более низких температурах. Кроме того, знание поведения теплоемкости, теплопроводности и других параметров керамического AlN в области температур ниже комнатной позволит получить более полную и законченную картину влияния технологических приемов на параметры керамики AlN. Такие низкотемпературные измерения и были целью настоящей работы, которая также предусматривала анализ имеющихся в литературе высокотемпературных данных и "сшивание" с ними экспериментальных кривых.

1. Методика и техника эксперимента

Измерялись образцы керамики AlN, содержащие стабилизирующие добавки Y₂O₃ и изготовленные методом полусухого прессования с последующим спеканием в среде азота при $T = 1750^\circ\text{C}$; пористость

образцов была не более 1% при среднем размере зерна $\sim 10^{-3}$ см. Микрофотография поверхности представлена на рис. 1.

Теплоемкость $C_F(T)$ была измерена в интервале температур 57–300 К стандартным методом адиабатического калориметра [4]. Погрешность определения C_p не превышала 2% при 57 К и 1% при 300 К.

Теплопроводность κ измерялась абсолютным стационарным методом продольного теплового потока. Поперечное сечение образца составляло 4.8 × 1.9 mm, расстояние между датчиками температуры было 15 mm. Аппаратура и методика измерений описаны в [5]. Погрешность определения κ не превышала 6%.

Образцы для измерения межплоскостных расстояний рентгенографическим способом были вырезаны из цилиндрического образца, приготовленного из мелкодисперсных порошков путем прессования и спекания в вакуумированной кварцевой ампуле при $T = 1200^\circ\text{C}$ в течение 14 суток. Съемка производилась на рентгеновском аппарате ДРОН-3 с использованием низкотемпературной камеры собственного изготовления [6] и рентгеновской трубки с хромовым анодом. Исследовались температурные зависимости положений рефлексов (002) и (110) в интервале температур 4.2–300 К. В связи с отсутствием интенсивных рефлексов от соответствующих кристаллографических плоскостей (001) и (110) в области больших углов использовались рефлексы с углами отражения 47.7 и 27.4°. Поэтому точность определения относительного изменения межплоскостного расстояния оказалась низкой, а это определило большой разброс экспериментальных точек относительно аппроксимирующей кривой. Аппроксимация проводилась методом наименьших квадратов полиномом четвертой степени.

2. Результаты и обсуждение

Результаты измерений теплоемкости представлены на рис. 2. Они хорошо согласуются с кривой $C_p(T)$ [2] для образца с 1% стабилизирующей добавки Y₂O₃, и

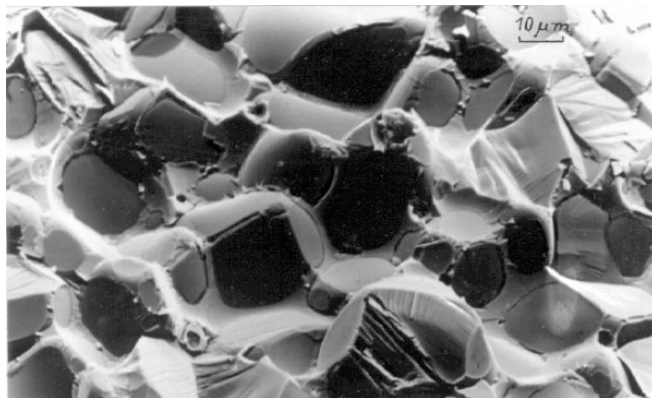


Рис. 1. Электронная фонография структуры скола образца AlN.

два массива экспериментальных точек аппроксимируются одной кривой $C_p(T)$. Каких-либо аномалий, свидетельствующих о наличии фазовых переходов в исследованном интервале температур, не наблюдается. Из значений теплоемкости была рассчитана температурная зависимость характеристической температуры Дебая $\Theta(T)$. Отметим, что температура Дебая в анализируемом нами интервале температур изменяется сравнительно слабо (от 826 К при 57 К до 1020 К при 300 К). При температурах, больших $T = 200$ К, график зависимости $\Theta(T)$ становится практически горизонтальным, т. е. в области высоких температур теория Дебая хорошо описывает поведение теплоемкости AlN. Для сравнения отметим, что у фианитов $ZrO_2 : Y_2O_3$, имеющих близкую по значению величину Θ , температурная зависимость последней существенно сильнее [7]. Это связано с тем, что теория Дебая лучше описывает тепловые свойства кристаллов с более простой структурой. С этим же связано и то, что теплоемкость AlN в области комнатной температуры продолжает расти, не проявляя признаков замедления роста, связанного с приближением температуры к характеристической.

Экспериментальные результаты по теплопроводности представлены на рис. 3. Температурная зависимость $\kappa(T)$ в исследованном интервале температур 50–300 К слабая и имеет максимум в области $T \sim 160$ К. При $T = 300$ К значение κ составило $123 \text{ W} \cdot \text{m}^{-1} \cdot \text{K}^{-1}$.

В области комнатных температур абсолютное значение теплопроводности исследованного нами материала попадает в интервал значений $\kappa(T)$ для образцов с различным содержанием Y_2O_3 [2] и близко к случаю 1% добавки Y_2O_3 .

В настоящей работе при $T = 3.5$ К методом тепловых импульсов применительно к исследованию керамических материалов [8] был оценен эффективный коэффициент диффузии тепловых фононов. Он оказался равным $D_{\text{eff}} = 10^{-2} \text{ m}^2 \cdot \text{s}^{-1}$. Для вычисления по этим данным коэффициента теплопро-

водности мы экстраполировали кривую теплоемкости (рис. 2) в область гелиевых температур. Учтем, что кристаллы AlN имеют структуру алмаза. Поведение температуры Дебая $\Theta(T)$ для подобных кристаллов достаточно хорошо изучено: в области температур $T = \Theta/20$ имеется глубокий минимум, а при более низких температурах Θ возрастает до значения, близкого к тому, которое достигается при $T \cong \Theta$ [9]. Поэтому можно полагать, что значение Θ в области гелиевых температур приближается к $\Theta = 1000$ К. Погрешность в определении Θ при этом не превысит 10–20% [9]. Поскольку при гелиевых температурах закон Дебая $C \sim (T/\Theta)^3$ выполняется хорошо, очевидно, что при погрешности в 10% для Θ мы получим погрешность для C порядка 30%, а при погрешности Θ в 20% погрешность для $C \sim 70\%$. Таким образом, определяя теплоемкость с использованием значения $\Theta = 1000$ К, мы можем ошибаться не более чем в 1.5–2 раза. Значение теплоемкости, полученное таким образом, равно $1.7 \cdot 10^{-4} \text{ J} \cdot \text{mol} \cdot \text{K}$ при $T = 3.5$ К.

Отсюда по известному соотношению $\kappa = C_v D_\rho$ имеем $\kappa \cong (1.5–2.0) \cdot 10^{-1} \text{ W} \cdot \text{m} \cdot \text{s}$. Полученное значение величины теплопроводности хорошо коррелирует с данными, например, для керамики Al_2O_3 с аналогичными размерами зерен частиц [10], когда, как и в нашем случае, длина свободного пробега фононов ограничена размерами частиц керамики и

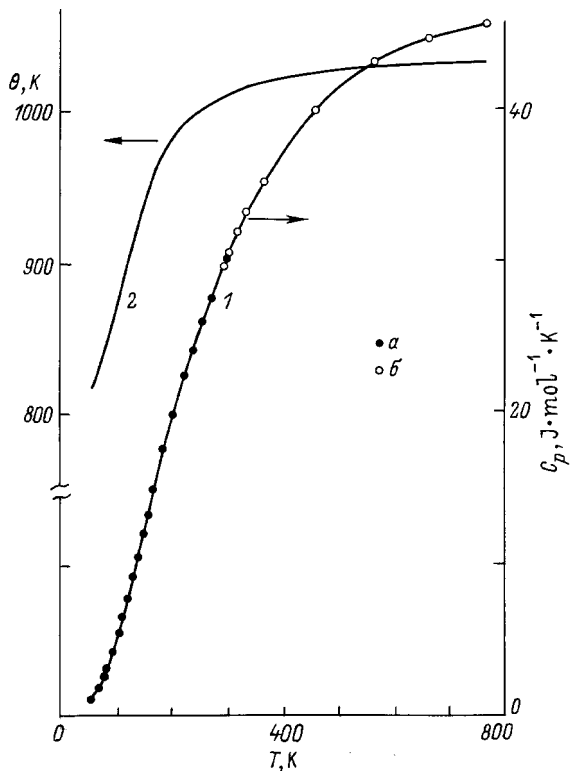


Рис. 2. Теплоемкость C_p (1) и характеристическая температура Дебая Θ (2) AlN в интервале температур 0–800 К. a — данные настоящей работы, b — данные [2].

определяется рассеянием на межзеренных границах, а не свойствами самих зерен, внутри которых движение фононов баллистическое.

Весь ансамбль значений теплопроводности можно аппроксимировать одной кривой, которая имеет характерный колоколообразный вид. При низких температурах $\kappa \sim T^3$, правее же максимума спад теплопроводности довольно медленный, $\kappa \sim T^{-0.7}$ при проведении аппроксимационной линии к точке при $T \cong 770\text{ K}$, когда теплопроводности керамики состава 1–10% Y_2O_3 мало различаются [2].

Результаты рентгеновских измерений представлены на рис. 4. Из полученных данных видно, что в области температур ниже 140 K имеет место сжатие кристаллической решетки вдоль направлений a и c . Наличие в области низких температур отрицательного КТР характерно для полупроводниковых соединений A^3B^5 с тетраэдрическими связями и объясняется тем, что дисперсионные кривые для такого типа соединений, соответствующие поперечным акустическим колебаниям, имеют горизонтальный участок вблизи границы зоны Бриллюэна [11].

Значения коэффициента линейного термического расширения в направлениях a и c при $T = 300\text{ K}$ составили $2.9 \cdot 10^{-6}$ и $3.4 \cdot 10^{-6}\text{ K}^{-1}$ соответственно. Для уточнения абсолютной величины параметра решетки и сравнения материалов образцы, использованные соответственно при рентгеновских измерениях

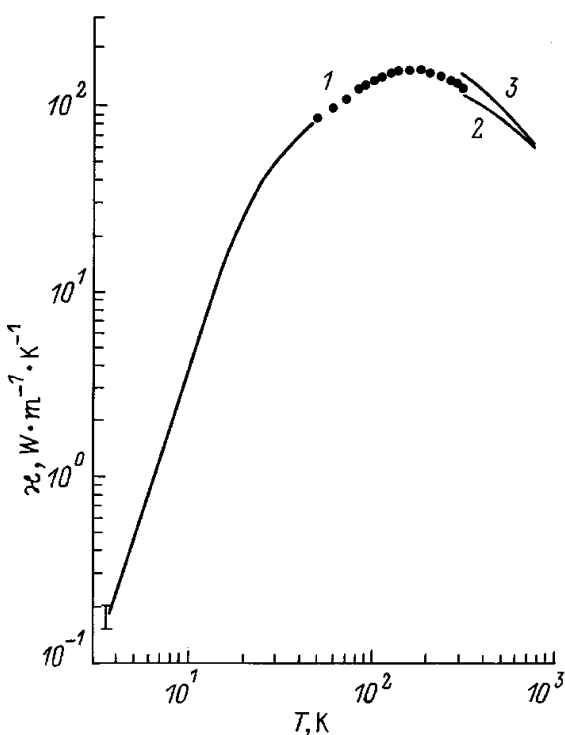


Рис. 3. Теплопроводность $\kappa(T)$ AlN. 1 — данные настоящей работы, 2 и 3 — $\kappa(T)$ для 1 и 10% Y_2O_3 соответственно [2], 4 — экстраполяция в область $T = 3.5\text{ K}$.

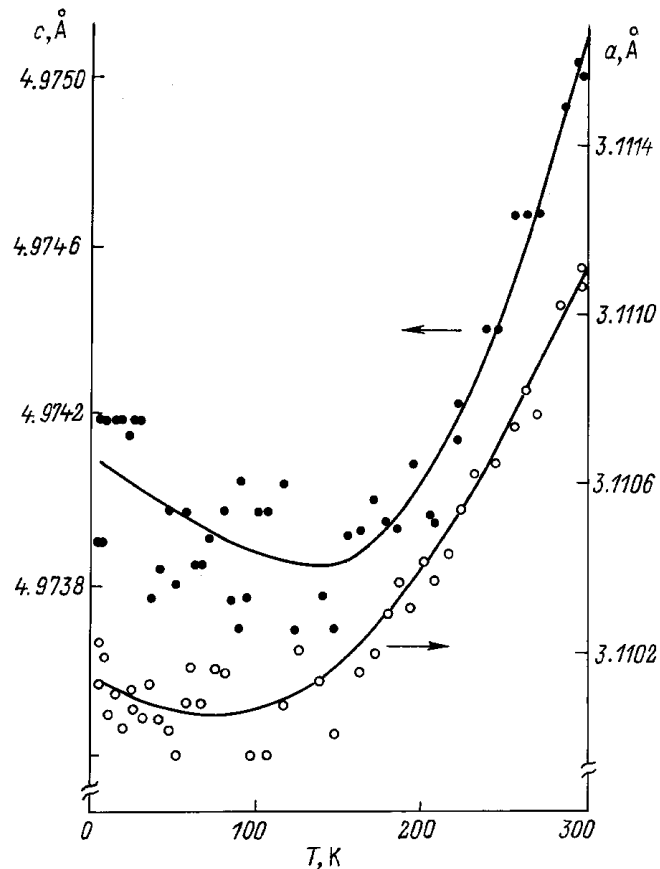


Рис. 4. Температурная зависимость параметров решетки AlN.

и определении теплопроводности, были истерты в порошок, и на них при комнатной температуре была снята зависимость интенсивность—угол дифракции. При этом использовалась трубка с железным анодом. Обе диаграммы оказались практически идентичными, хотя интенсивность на образце, изготовленном при более низкой температуре, была в 2–3 раза ниже. Параметр решетки c определялся по рефлексу (211), соответствующему углу отражения 76.0° , и составил в обоих случаях 4.9751 \AA , что согласуется со справочными данными (4.975 \AA [12]). Полученная нами величина на $0.002\text{--}0.003\text{ \AA}$ меньше представленной авторами [2]. Такое расхождение нельзя объяснить различием примесного состава, которое в случае керамических образцов в рентгеновских данных проявляется слабо. Оно может быть обусловлено деталями технологического процесса приготовления образцов исследованной керамики.

В заключение отметим, что полученные в работе и с учетом литературных данных кривые теплоемкости и теплопроводности в широком интервале температур позволяют проводить целенаправленный анализ влияния межзеренных границ через технологические процессы на важнейшие параметры керамики AlN.

Работа выполнена при частичной поддержке Российского фонда фундаментальных исследований (проект № 94-02-05504).

Список литературы

- [1] L. Michalowsky, G. Riedel. Keramische Zeitschrift **39**, 3, 162 (1987).
- [2] P.S. de Baranda, A.K. Knudsen, E. Ruh. J. Am. Cer. Soc. **77**, 7, 1846 (1994).
- [3] Ching-Fong Chen, M.E. Perisse, A.F. Ramirez, N.P. Padture, H.M. Cham. J. Mater. Sci. **29**, 1595 (1994).
- [4] Н.Н. Сирота, А.М. Антюхов, В.В. Новиков, В.А. Федоров. ДАН СССР **259**, 2, 362 (1981).
- [5] П.А. Попов. Автореф. канд. дис. Брянск (1993).
- [6] А.А. Сидоров. Автореф. канд. дис. Брянск (1987).
- [7] С.Н. Иванов, Г.В. Егоров, П.А. Попов. ФТТ **34**, 3599 (1992).
- [8] С.Н. Иванов, А.Г. Козорец, А.В. Таранов, Е.Н. Хазанов. ЖЭТФ **102**, 2, 600 (1992).
- [9] Дж. Слэтер. Диэлектрики, полупроводники, металлы. Мир, М. (1969). 647 с.
- [10] J.E. Graebner, B. Golding. Phys. Rev. **B34**, 8, 5788 (1981).
- [11] С.И. Новикова. Тепловое расширение твердых тел. Наука, М. (1974). 292 с.
- [12] Л.И. Миркин. Справочник по рентгеноструктурному анализу поликристаллов. Гос. изд-во физ.-мат. лит. М. (1961). 863 с.